

근접장주사현미경을 이용하여 비정질 As_2S_3 에서 광 빛살의 근접장 세기 분포 측정

Measurement of near-field intensity profile of optical beam in
amorphous material As_2S_3 using NSOM

이재광, 송기봉*, 신승호**, 조규만

서강대학교 물리학과, *한국과학기술연구원, **강원대학교 물리학과

thomas@physics.sogang.ac.kr

비선형 물질에 대한 연구가 광범위하게 활발히 연구되어지고 있는 가운데 self-focusing 효과를 처음 언급한 P.L.Kelley 이후 이 효과는 꾸준히 연구 발전되어지고 있다.[1] 이미 알려진 대로

self-focusing 효과는 물질의 제3차 비선형 광학계수 $\chi^{(3)}$ 가 입사 빛살의 세기에 비례하는 비선형 굴절률의 변화와 비선형 흡수율의 변화에 관계되어 발생되는 현상들 가운데 하나이다. 최근 자체집광 효과가 큰 물질이 개발되면서 자체집광 효과로 얻어지는 장점을 이용해 광학적 소자 개발 및 기타 광학응용에 많은 관심을 얻게 되었다.[2]

비선형물질의 자체집광 효과를 일으키는 비선형적 계수의 기준 측정 방법은 Z-scan과 축퇴4광파 합성법, 빛살 왜곡 측정법등 여러 방법이 있다. 이 측정 방법은 far-field 의 세기를 측정하여 얻어지는 방법으로서 near-field 근방에서는 측정하지 못하는 단점이 있다. 이는 near-field 영역에서 발생되는 새로운 비선형 현상 즉, 입사 빛살의 filament formation, beam breakup 같은 현상을 이해하는데 한계를 가지고 있다.[3] 이 현상들뿐아니라 보다 정밀하게 비선형 현상을 얻기 위해서는 근접한 측정이 필수적이다. 근접 측정 방법은 이미 널리 알려진 Near-field Scanning Optical Microscopy(NSOM)으로 수행 될 수 있으며 약 100nm정도의 분해능으로 측정 가능하다.[4]

본 연구는 tuning fork가 사용된 자체제작 NSOM을 이용하여 비정질 As_2S_3 박막을 자체집광된 입사 빛살의 세기를 시료 표면로 부터 근접거리인 10nm 근방에서 측정하였다.

측정을 위해 사용된 파장은 689nm로서 반도체 레이저 빛살을 렌즈로 시료표면에 focusing 시킨 후 시료를 투과한 후의 빛살의 세기 분포를 측정하였다.

본 실험은 반도체 레이저에서 나오는 빛살을 렌즈로 집광시켜 시료 표면에 입사하였다. 입사된 빛살이 시료를 투과한 후 aperture size가 약 100nm인 coated optical fiber tip을 통해 검출되었고 2nm 간격으로 $10\mu\text{m} \times 10\mu\text{m}$ 주사하여 빛살 세기 분포를 측정하였다.

빛살의 세기를 측정하기 위한 주사 장치는 압전 소자를 사용하였고 tip과 시료사이의 거리를 tuning fork를 사용하여 약 10nm정도 거리를 유지하였다. 그림 1은 시료를 지나온 빛살 세기 분포를 나타낸다.

또한 그림2는 중앙부분의 빛살 세기의 분포를 보여주고 있다. 입사전의 빛살의 Gaussian profile의 형태가 조금 변형되고 있음을 보여진다.

본 실험은 비정질 As_2S_3 표면에 반도체 레이저 빛살 투과시킨 후 레이저 빛살 세기 분포를 근접 거리에서 NSOM을 이용하여 측정하였다. 이 때 시료표면의 근접장을 측정을 위하여 거리 유지 방법으로서 tuning fork을 이용하였다. 측정된 결과로부터 근접장 측정을 통해 비선형 현상을 관측할 수 있음을 제시하였다.

REFERENCE

1. P.L. Kelley, Physical Review Letters, Vol 15, pp 1005-1008, 1965
2. M.D. Feit and J.A. Fleck,Jr., J. Opt. Soc. Am.B, Vol 5, pp633-640, 1988
3. G. Fibich, Physical Review Letters, Vol 76, pp 4356-4359, 1996
4. Ki-Song et al, Appl. Phy. Lett., Vol 73, pp2260-2262, 1998

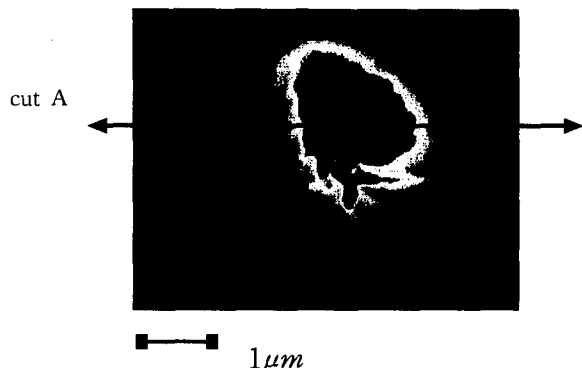


그림2 레이저 입사 빛살이 시료를 투과한 후의 근접 거리에서의 레이저 빛살의 세기 분포

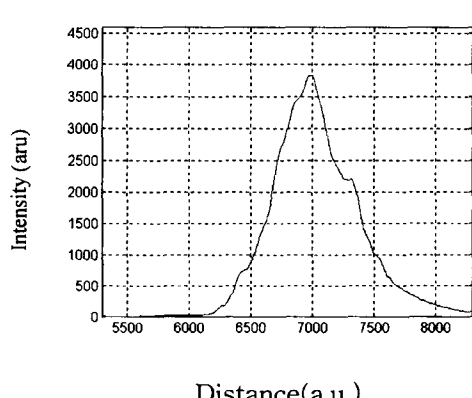


그림3 cut A 면의 레이저 빛살의 세기 분포

